

人 SPRED2 基因重组腺病毒载体的制备及其对 K562 细胞 ERK 通路的影响

刘小云¹ 罗芳¹ 王华² 杨月峰² 张群伟² 王立生^{2△}

(1 兰州军区疾病预防控制中心 甘肃 兰州 730020 ;

2 军事医学科学院放射与辐射医学研究所实验血液学实验室 北京 100850)

摘要 目的：构建携带 SPRED2 的质粒载体与重组腺病毒载体，并观察其在 K562 细胞的表达及对 ERK 信号通路的作用，为 Spred2 在造血细胞中的作用的研究奠定基础。方法：以 HepG2 细胞 cDNA 为模板 RT-PCR 克隆 SPRED2 全长 CDS 序列，并亚克隆到 pCDNA3.0 和 pshuttle-CMV 质粒载体，构建携带 SPRED2 的真核表达载体 pCDNA3.0-Spred2 与穿梭载体 pshuttle-CMV-Spred2；将线性化 pshuttle-CMV-Spred2 与腺病毒骨架质粒 Adf11p 在感受态细胞 BJ5183 中进行同源重组，产生重组质粒 Adf11p-Spred2；后者经线性化后转染至 HEK293 细胞进行病毒包装，在 HEK293 细胞扩增病毒颗粒，以 CsCl 密度梯度离心法进行纯化，TCID50 法测定病毒滴度，将病毒颗粒以 100MOI 感染 K562 细胞，Western blot 检测 Spred2 过表达情况及 Spred2 对细胞 ERK 的影响。结果：经酶切、DNA 测序、Western blot 检测等方法鉴定，证明 pCDNA3.0-Spred2 与 Adf11p-Spred2 携带 Spred2 序列正确，能够在 HEK293 细胞、K562 细胞正确表达，Spred2 过表达能够显著抑制 K562 细胞 ERK 活力。结论：成功构建对 K562 细胞有高感染效率的 SPRED2 重组腺病毒载体，且 Spred2 对 K562 细胞 ERK 信号通路有显著抑制作用。

关键词 Spred2；重组腺病毒载体；ERK 通路；K562 细胞

中图分类号 R733.7,Q75,Q78 文献标识码 A 文章编号 :1673-6273(2012)02-221-05

Preparation of Recombinant Adenovirus Vectors Harbouuring the Human SPRED2 Gene and its Effects on ERK Pathway in K562 Cells

LIU Xiao-yun¹, LUO Fang¹, WANG Hua², YANG Yue-feng², ZHANG Qun-wei², WANG Li-sheng^{2△}

(1 Center for Disease Control and Prevention of Lanzhou military region, Lanzhou 730020, China;

2 Department of Experimental Hematology, Beijing Institute of Radiation Medicine, Beijing 100850, China)

ABSTRACT Objective: To establish plasmids and recombinant adenovirus vectors harbouring the human SPRED2 gene, investigate the effects of Spred2 over-expression on ERK signalling pathway in K562 cells, and provide basis for future researches on the effects of Spred2 in hematopoietic cells. **Methods:** cDNA from HepG2 cells were used as templates for Spred2 full-length CDS cloning by RT-PCR, the Spred2 full-length CDS were subcloned to pCDNA3.0 and pshuttle-CMV vectors to establish pCDNA3.0-Spred2 and pshuttle-CMV-Spred2 recombinant plasmids, linearized pshuttle-CMV-Spred2 and adenovirus backbone plasmids Adf11p were transferred to BJ5183 competent cells for homologous recombination and produced recombinant plasmids Adf11p-Spred2. Adf11p-Spred2 plasmids were linearized and transferred to HEK293 cells for virus packaging. Virus particles were amplified in HEK293 cells and purified by CsCl density gradient centrifugation. TCID50 methods were used for virus titer detection. K562 cells were infected with Adf11p-Spred2 and control virus at 100 MOI (multiplicity of infection). Spred2 expression and ERK activity were determined by Western blot assays. **Results:** The results of enzymatic digestion, DNA sequencing and Western blot assays showed that, the vectors were successfully established and over-expressed in K562 cells; Spred2 over-expression intensively inhibited the ERK activity. **Conclusion:** Recombinant adenovirus harbouring human SPRED2 gene with high infection efficiency in K562 cells were successfully established, adenovirus mediated Spred2 over-expression significantly inhibited the ERK signaling pathway.

Key words: SPRED2; Recombinant adenovirus vectors; K562 cells; ERK signal pathway

Chinese Library Classification (CLC): R733.7, Q75, Q78 **Document code:** A

Article ID:1673-6273(2012)02-221-05

前言

Spreds(Sprouty related with EVH1 domain)是近年发现的

作者简介 刘小云(1977-)男,医学博士,主治医师,主要研究方向 实验血液学 电话 0931-8972031,

E-mail:lxy_tmmu2002@hotmail.com

△通讯作者 王立生 E-mail towangs@gmail.com

(收稿日期 2011-06-26 接受日期 2011-06-23)

一类与 Sprouty 相关的细胞膜蛋白 Spreds 对 Ras-ERK 信号通路的负调控作用极为显著^[1]。目前为止，在哺乳动物已发现有 Spred1、Spred2 和 Spred3 三个成员^[2]。研究证实 Spreds 对胚胎 AGM 区(Aorta-Gonad-Mesonephros region)造血、细胞增殖、血管与淋巴管的生成具有重要调节作用，在肝癌、变应性疾病和 I 型神经纤维瘤样疾病的发病中可能有重要意义^[2-10]。然而 Spreds 在慢性粒细胞性白血病(chronic myeloid leukemia, CML)病理过程中的作用并不清楚。为此，本研究构建了携带

Spred2 的重组腺病毒载体，并初步观察 Spred2 对 K562 细胞 ERK 信号通路的影响。

1 材料与方法

1.1 材料

1.1.1 细胞 人肝癌细胞系 HepG2 细胞、人胚肾细胞系 HEK293、慢性粒细胞性白血病 K562 细胞系均为本室保存。

1.1.2 质粒、重组腺病毒载体及重组腺病毒 质粒 pCDNA3.0、穿梭质粒 pshuttle-CMV、腺病毒骨架质粒 Ad5f11p 为本实验室保存 重组腺病毒 Ad5f11p-GFP 为本实验室制备冻存。

1.1.3 菌种 DH5 α 感受态细胞购自北京天根公司 BJ5183 感受态细胞为实验室保存。

1.1.4 PCR 引物 Spred2 基因全长 CDS 扩增引物（北京奥科生物技术有限公司合成）。

Sense: 5'-GAAGGTACCCGGACAGGAAGATGAAGGG-3'

Antisense: 5'-GAACTCGAGAGGGAGAAGGGAGGGAA-
ACT-3'

1.1.5 主要试剂 DNA 聚合酶 KOD Plus(TOYOBO ,日本) ;限制性内切酶 *Kpn*I、*Xho*I、*Pme*I、*Pac*I (Biolab 公司) ;T4 DNA 连接酶、dNTP(Biolab 公司) ;ExTaqDNA 聚合酶(TaKaRa 公司) ;卡那霉素、链霉素、氨苄青霉素(原平皓公司) ;DMEM(Gibco 公司) ;胎牛血清(北京元亨圣马生物技术研究所) ;TRIZOL® RNA 提取试剂(Invitrogen) ;阳离子脂质体(Invitrogen) ;DNA 胶回收试剂盒、质粒小量制备试剂盒(TianGen) ;anti-Spred2 (Sigma 公司)。

1.1.6 主要仪器设备 水平电泳系统(北京六一仪器厂) ;高速冷冻离心机(军事医学科学院仪器厂) ;洁净工作台(北京半导体设备一厂) ;GNP-9050 型隔水式恒温培养箱(上海精宏实验设备有限公司) ;THZ-C 恒温振荡器(江苏太仓市实验仪器厂) ;Mastercycler PCR 仪(Eppendorf, 德国) ;3111 型 CO₂ 气体培养箱(Thermo electron, 德国) ;80℃超低温冰箱(SanYo, 日本) ;紫外凝胶成像仪(UVP, 美国) ;电转仪(BIO-RAD, 美国)等。

1.2 方法

1.2.1 细胞培养 HEK293、HepG2 细胞均培养在含 10%FBS、2mM L- 谷氨酰胺、100U/ml 青霉素和 100 μ g/ml 链霉素的 DMEM 完全培养基中 37℃、5% CO₂ 饱和湿度的培养箱中培养，细胞长至 70-80% 汇合状态时 0.25% 胰酶 -0.02% EDTA 消化，传代培养。

1.2.2 RT-PCR 收集 1× 10⁶ HepG2 细胞，参考 TRIZOL 试剂说明书提取总 RNA，反转录操作参考 RT-PCR 第一链 cDNA 合成试剂盒说明书，反转录后取 1 μ l cDNA 为模板，以 Spred2 全长 cDNA 扩增引物进行 PCR 扩增。反应条件 95℃ 预变性 5min, 95℃ 变性 45s, 62℃ 退火 30s, 68℃ 延伸 45s, 共 35 个循环，68℃ 延伸 10min。

1.2.3 真核细胞表达载体 pCDNA3.0-Spred2 与穿梭载体 pshuttle-CMV-Spred2 的构建与鉴定 灭菌 Ep 管中加入适量、PCR 产物 DNA，加入限制性内切酶 *Xho*I 和 *Kpn*I 各 2.5 μ l, 10× M Buffer 5 μ l, BSA 5 μ l，混匀，瞬时离心，37℃ 水浴 1-2h。琼脂糖凝胶电泳分析酶切产物，并回收纯化所需片段。目的基因片段 0.5 μ g，线性化载体 0.1 μ g，10× M Buffer 2 μ l, T4 DNA Ligase

1 μ l(3U)，补充双蒸水至总体积 20 μ l。16℃ 连接过夜。连接产物转化 DH5 感受态细胞参照 DH5 感受态细胞说明书操作。随机挑取 10 个重组子，接种于 5ml 含氨苄青霉素(pCDNA3.0-Spred2)或含卡那霉素(pshuttle-CMV-Spred2)的 LB 培养基中，37℃ 过夜培养，取 1ml 新鲜菌液保存菌种，剩余菌液用于提取质粒。分别采用 *Xho*I 和 *Kpn*I 双酶切、目的序列 PCR 和测序等方法鉴定重组质粒。将酶切和 PCR 鉴定均正确的质粒克隆送往北京奥科生物技术有限公司，在 Spred2 基因的上、下游设计引物，进行测序鉴定。测序结果通过 NCBI 的 Blast 进行在线比对分析，判定序列是否正确。

1.2.4 pCDNA3.0-Spred2 在真核细胞的表达 质粒 pCDNA3.0-Spred2 与对照质粒 pCDNA3.0 参照 Lipofectamine2000 说明书瞬时转染 HEK293 细胞 48 h 后参照 Molecular Cloning: A Laboratory Manual 3rd ed (Sambrook et al. 2001) 提取蛋白、进行 SDS/PAGE 电泳，Western blot 检测 Spred2 表达水平。

1.2.5 病毒载体 pAd5f11p-Spred2 的构建 BJ5183 电转化感受态细胞的制备，具体步骤见 Molecular Cloning: A Laboratory Manual 3rd ed (Sambrook et al. 2001)。pshuttle-CMV-Spred2 质粒经 *Pme*I 酶切线性化，去磷酸化，酚 - 氯仿抽提，乙醇沉淀，去除蛋白和缓冲液的盐份，重悬于 10 μ l 双蒸水，分别取 100-200ng 线性化的 pshuttle-CMV 和 pshuttle-CMV-Spred2，与 40 μ l BJ-Adf11p 感受态细胞混匀后，电击转化 (BioRad 2.5kV, 200Ω, 25 μ F, 0.2cm gap)。迅即加入 1ml SOC 培养基重悬细菌，37℃、250rpm，振摇 1h。将菌液涂布在含卡那霉素的 LB 培养板，37℃ 过夜孵育；于转化平板挑取 5-10 个最小的单克隆，接种于含相应抗生素的 5ml LB 培养基中，37℃、250rpm 培养过夜。碱裂解法提取质粒，酚 - 氯仿抽提、乙醇沉淀后，以 0.6% 琼脂糖凝胶电泳进行分离，判断质粒大小。选择质粒大小在 33Kb 左右的克隆，以 *Pac*I 酶切鉴定，出现 30Kb 和 4.5Kb 条带为重组正确的质粒。鉴定正确的质粒热激转化 DH5 感受态细胞，菌种 -70℃ 保存待用。

1.2.6 病毒的包装与鉴定 大量扩增并提取质粒 pAd5f11p-Spred2, *Pac*I 酶切线性化。取 5.0 μ g 线性化产物进行 0.8% 琼脂糖凝胶电泳，确定质粒已完全线性化后，将剩余产物进行酚氯仿抽提去除酶等杂质，乙醇沉淀回收 DNA，紫外分光光度计法测定 DNA 含量和纯度。将对数生长期的 HEK293 细胞以 1× 10⁵ 细胞 / 孔接种 24 孔培养板，于 5% CO₂、37℃ 饱和湿度条件下培养。24h 后待细胞长至 70%-80% 汇合时，用脂质体 Lipofectamine2000 将 0.8 μ g 线性化 pAd5f11p-Spred2 转染至细胞，6 h 后补加新鲜细胞培养基（至 FBS 终浓度为 10%），次日换为含 3% FBS 的新鲜细胞培养基。于 37℃、5% CO₂ 饱和湿度条件下继续培养 7-10 天，每 3-4 天更换一次培养液，出现明显细胞病变时收获病毒。具体方法：轻轻吹打使细胞脱壁，将细胞和培养上清收集于 Ep 管，-80℃ 和 37℃ 之间反复冻融三次，混匀后 10000rpm 离心 5min，以去除细胞碎片和杂质，将上清转移到新的 Ep 管中，得到的种子病毒上清 -80℃ 冻存备用。按照以下程序，提取并鉴定重组腺病毒基因组 DNA：将 HEK293 细胞按照 1× 10⁶ 细胞 / 孔接种 6 孔板，次日，待细胞达到 90% 左右融合度时，取 10 μ l 病毒原液感染细胞，具体为：

①将细胞培养上清弃去,用 PBS 洗涤一次;②加入 500 μ l 无血清的 DMEM 培养基,再加入 10 μ l 病毒原液;③于 37℃、5% CO₂ 饱和湿度的培养箱孵育 2h;④弃去培养基,加入 1ml 含 5%FBS 的 DMEM 培养基继续培养;⑤待细胞出现病变时,收集细胞,并用 PBS 洗涤一次;⑥将细胞重悬于 100 μ l PBS,在 -80℃ 和 37℃ 之间反复冻融三次;⑦混匀后 10000rpm 离心 5min,将病毒上清 100 μ l 转移到新的 EP 管中;⑧加入 10%SDS 10 μ l、0.5M EDTA 4 μ l、20mg/ml 蛋白酶 K 10 μ l,37℃ 孵育 4-18h;⑨用酚:氯仿:异戊醇(25:24:1)抽提 2 次;⑩将沉淀用 20 μ l 含 100 μ g/ml RNaseA 的无菌水溶解,37℃ 孵育 0.5h,即得到腺病毒基因组 DNA。以重组腺病毒基因组 DNA 为模板,Spred2 上游引物和下游引物扩增 Spred2 全长 CDS (采用 Blend-Taq 聚合酶)。反应条件同前。

Western blot 鉴定 Ad5f11p-Spred2 真核细胞表达:分别用腺病毒 Ad5f11p-GFP 和 Ad5f11p-Spred2 感染 HepG2 细胞,48h 后收集细胞,Western blot 方法检测 Ad5f11p-Spred2 在 HepG2 细胞中的表达。

1.2.7 重组腺病毒 Ad5f11p-Spred2 的扩增、纯化及滴度测定 重组病毒载体的扩增、纯化与滴度测定,均参考本室鲁茁壮等述方法进行^[11]。

1.2.8 重组腺病毒 Ad5f11p-Spred2 感染 K562 细胞 将纯化好的病毒与对照病毒以 100 感染复数 (multiplicity of infection, MOI) 感染 1 \times 10⁶ K562 细胞,48 h 后收集细胞,提取蛋白,用于 Western blot 检测。

1.2.9 Western blot 检测 蛋白提取、蛋白定量及 Western blot 检测详细步骤参考李庆芳等述方法进行^[12],本研究利用 Western blot 检测 Spred2、ERK 和磷酸化 ERK 蛋白表达水平。

2 结果

2.1 RT-PCR 结果

RT-PCR 扩增产物大小为 1300bp 左右,与 Pubmed 查询的 Spred2 全长 CDS 大小一致。RT-PCR 扩增产物 0.8% 琼脂糖凝胶电泳结果如图 1。对片段进行凝胶回收和纯化备用。

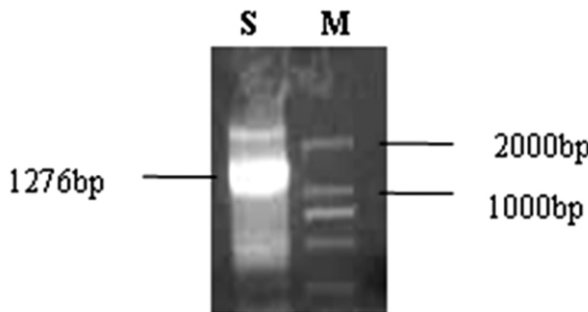


图 1 Spred2 CDS 的 RT-PCR 扩增电泳图 S: Spred2; M: DL2000
Fig.1 Amplification of Spred2 CDS by RT-PCR S: Spred2, M: DL2000

2.2 pshuttle-CMV-Spred2 与 pCDNA3.0-Spred2 的构建与鉴定

分别随机选 4 个和 6 个 pshuttle-CMV-Spred2 与 pCDNA3.0-Spred2 转化子,提取质粒,经 Xhol I 和 Kpn I 酶切后,0.8% 琼脂糖凝胶电泳分析鉴定,鉴定结果(图 2)表明,Spred2 CDS 成

功克隆到两个载体。为确定克隆到的 Spred2 全长 CDS 序列的正确性,将 pCDNA3.0-Spred2 与 pshuttle-CMV-Spred2 质粒送公司测序,并 Blast 在线比对分析。比对结果表明,Spred2 全长 CDS 序列正确,可用于后续实验。

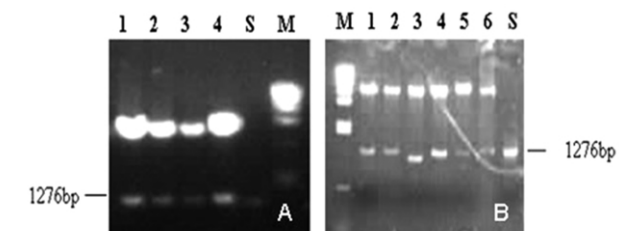


图 2 (A)pCDNA3.0-Spred2 与(B)pshuttle-CMV-Spred2 Xhol I/Kpn I 酶切鉴定图谱 S: Spred2; M: λ -DNA/Hind

Fig.2 Digestion of pCDNA3.0-Spred2 (A) and pshuttle-CMV-Spred2 (B) by Xhol I and Kpn I S:Spred2, M: λ -DNA/Hind

2.3 pCDNA3.0-Spred2 真核表达

为进一步确定所得基因的准确性,将 pCDNA3.0-Spred2 真核表达载体经阳离子脂质体转染 HEK293 细胞,提取蛋白进行 Western blot 鉴定其表达情况,结果(图 3)显示,在转染 pCDNA3.0-Spred2 的 HEK293 细胞,有大小约为 48KDa 的特异性条带,而转染空载体的 pCDNA3.0 未见到条带,表明 Spred2 在 HEK293 细胞成功高表达,载体构建成功。

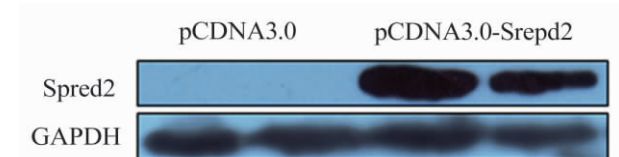


图 3 WB 检测 pCDNA3.0-Spred2 在 HEK293 细胞的表达

Fig.3 Detection of pCDNA3.0-Spred2 expression in HEK293 cells by Western blot assays

2.4 重组质粒 pAd5f11p-Spred2 的构建与鉴定

鉴定正确的 pshuttle-CMV-Spred2 经 PmeI 酶切线性化并转化 BJ5183-Ad5f11p 感受态细胞,与 Ad5f11p 骨架质粒同源重组,在含卡那霉素的 LB 培养板上涂板,18 h 后获得 2 个具有抗性的、生长缓慢的克隆,疑似为正确重组子。扩增克隆,提取质粒,以质粒 pshuttle-CMV-Spred2 为对照排除自连反应,用 PacI 酶切鉴定。结果显示,酶切产物为 30Kbp 与 4.5Kbp 两段(图 4),表明所得两个克隆均为正确重组子。为进一步鉴定重组子,以 pAd5f11p-Spred2 为模板,对目的片段 Spred2 进行扩增,以 Spred2 CDS 为对照,电泳结果(图 5)显示,骨架质粒中包含 Spred2 序列,可用于病毒包装。

2.5 重组腺病毒 Ad5f11p-Spred2 的包装与鉴定

鉴定正确的 pAd5f11p-Spred2 经 PacI 线性化后,转染 HEK293 细胞第 10d 细胞出现噬斑,随后噬斑不断扩大,第 12 天出现完全 CPE。提示病毒包装成功,此时收集细胞和培养液,

反复冻融3次后，离心收集上清即为Ad5f11p-Spred2病毒原液。为保证病毒的准确性，对病毒载体在真核细胞的表达进行蛋白水平鉴定。Ad5f11p-Spred2和Ad5f11p-GFP病毒液分别感染HEK293细胞，48h后提取蛋白，BCA蛋白定量试剂盒蛋白定量后Western Blot检测Spred2表达水平。结果显示，Ad5f11p-Spred2感染HEK293细胞有48KD左右的蛋白表达，而Ad5f11p-GFP感染细胞与空白对照细胞很难检测到该蛋白表达(图6)。该结果表明，Ad5f11p-Spred2在HEK293细胞能够成功高水平表达Spred2，重组腺病毒Ad5f11p-Spred2构建成功。可以开展后续的病毒扩增、纯化试验。

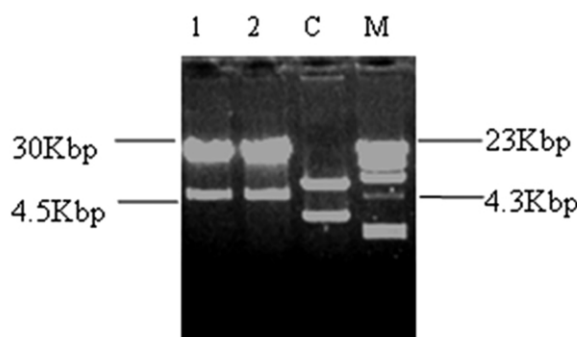


图4 重组质粒pAd5f11p-Spred2 PstI酶切鉴定：1、2 2个重组子质粒；C:pshuttle-Spred2 M:λ-DNA/Hind marker

Fig.4 Digestion of pAd5f11p-Spred2 by PstI enzyme :1,2: Plasmids of two recons; C:pshuttle-Spred2; M:λ-DNA/Hind marker

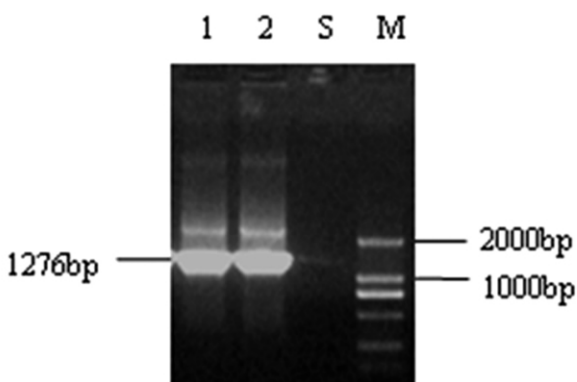


图5 重组质粒pAd5f11p-Spred2的PCR鉴定：1、2 2个克隆的质粒 PCR产物 S: Spred2 CDS M: DL2000

Fig.5 Identification of pAd5f11p-Spred2 by PCR :1, 2: PCR products of the recons plasmids; S: Spred2 CDS M: DL2000



图6 WB检测感染Ad5f11p-Spred2病毒HEK293细胞Spred2的表达 Mock 空白对照

Fig.6 Detection of Spred2 in HEK293 cells infected by Ad5f11p-Spred2 using western blot assays

2.6 腺病毒Ad5f11p-Spred2的扩增纯化

鉴定正确的Ad5f11p-Spred2大量扩增后，CsCl密度梯度离心法纯化病毒(如图1-10)。紫外分光光度法检测OD260nm和OD280nm，根据OD260nm/OD280nm评价病毒纯度，为1.252，根据OD260nm计算病毒的颗粒滴度(vp/ml)，为 1.5×10^{12} vp/ml。最后，采用TCID50法检测病毒感染滴度(IU/ml)，为 2.2×10^{10} IU/ml。结果显示，Ad5f11p-Spred2的颗粒滴度大于1012 vp/ml，而纯度位于1.2-1.4之间，符合病毒纯度要求。TCID50检测其感染滴度为 2.2×10^{10} IU/ml，与颗粒滴度的比值大于1/100，符合要求。该结果表明已成功制备重组腺病毒Ad5f11p-Spred2，能够满足后续功能实验需求。

2.7 Spred2过表达抑制K562细胞Ras-ERK活性

Spred2在多种细胞中均对Ras-ERK信号通路具有负调控作用，而对CML细胞的作用尚未见报道。为此，我们首先以过表达Spred2的K562细胞为研究模型，观察Spred2对K562细胞ERK信号通路的影响。如图(图7)所示，在常规培养条件下，分别用重组腺病毒Ad5f11p-Spred2与对照病毒Ad5f11p-GFP以100MOI感染K562细胞，Spred2得到高水平表达，而K562细胞的内源性Spred2表达水平较低。同时，与空白对照和对照病毒相比，过表达Spred2的K562细胞ERK活性被强烈抑制。这表明Spred2对K562细胞Ras-ERK信号通路有较强抑制作用。

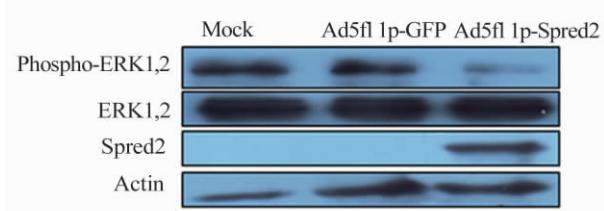


图7 重组腺病毒介导的Spred2过表达抑制K562细胞ERK活性
Fig.7 Recombinant adenovirus mediated Spred2 over-expression inhibits ERK activity in K562 cells

3 讨论

重组腺病毒载体因其安全性好、宿主范围广、稳定性高、易于制备和装载容量大等诸多优点，被广泛应用于基因治疗和基因功能研究。其中应用最为普遍的是5型腺病毒载体(Ad5)。然而，因造血细胞表面缺乏相应病毒受体，Ad5病毒载体对其感染效率很低。这大大限制了Ad5腺病毒载体在造血细胞的应用。本室鲁茁壮博士将传统的Ad5病毒骨架pAdEasy-1的纤维顶球用Ad11p的纤维顶球置换，获得带嵌合纤维的病毒Ad5f11p。研究表明，50MOI感染条件下，Ad5f11p对K562细胞和CD34+细胞感染效率能分别达到90%与50%，而同等条件下AdEasy-1对它们的感染效率都低于10%^[11]。因此，本研究选用了Ad5f11p重组腺病毒系统作为基因转移载体。

本研究以HepG2 cDNA作为模板，经RT-PCR扩增，成功获得Spred2全长CDS，并将其成功克隆到真核表达载体pCD-NA3.0-Spred2，经Western blot鉴定证明其在真核细胞能够成功表达Spred2蛋白。同时，利用Ad5f11p重组腺病毒系统制备

了可以高效感染造血细胞的重组腺病毒 Ad5f11p-Spred2 ,经鉴定在 HEK293 细胞能够高水平表达所携带的外源基因。最后 , 重组腺病毒载体 Ad5f11p-Spred2 在 K562 细胞能够得到高表达 ,且其 ERK 活性水平被强烈抑制 ,与在其它细胞中的研究报道一致^[1,4,7]。ERK 信号通路在细胞增殖、分化与凋亡的调控中发挥重要作用 Spred2 是否能够通过负调控 ERK 信号通路 ,影响造血细胞的增殖、分化与凋亡 是下一步的研究重点。

总之 , 本研究成功构建制备了重组腺病毒载体 Ad5f11p-Spred2 和质粒载体 pCDNA3.0-Spred2 ,为研究 Spred2 过表达对 CML 细胞的生物学特性影响提供了有效的工具 ;同时 ,还发现 Spred2 能够强烈抑制 K562 细胞 ERK 活性水平 ,为 Spred2 在造血细胞中的作用研究奠定了基础。

参考文献(References)

- [1] Wakioka T, Sasaki A, Kato R, et al. Spred is a Sprouty-related suppressor of Ras signalling[J]. 2001, Nature, 412 :647-651
- [2] Bundschu K, Walter U, Schuh K. Getting a first clue about SPRED functions[J]. BioEssays, 2007, 29:897-907
- [3] Nonami A, Kato R, Taniguchi K, et al. Spred-1 negatively regulates interleukin-3-mediated ERK/Mitogen- activated Protein (MAP) Kinase activation in hematopoietic cells [J]. J. Biol. Chem, 2004, 279: 52543-52551
- [4] Nobuhisa I, Kato R, Inoue H, et al. Spred-2 suppresses Aorta-Gonad-Mesonephros hematopoiesis by inhibiting MAP Kinase activation [J]. J. Exp. Med, 2004,199:737-742
- [5] Taniguchi K, Kohno R, Ayada T, et al. Are Essential for Embryonic Lymphangiogenesis by Regulating Vascular Endothelial Growth Factor Receptor 3 Signaling[J]. Mol. Cell. Bio, 2007,27:4541-4550
- [6] Wang SS, Aurora AB, Johnson BA, et al. The endothelial-specific MicroRNA miR-126 governs vascular integrity and angiogenesis [J]. Dev. Cell, 2008,15:261-271
- [7] Yoshida T, Hisamoto T, Akiba J, et al. Spreds, inhibitors of the Ras-ERK signal transduction, are dysregulated in human hepatocellular carcinoma and linked to the malignant phenotype of tumors [J]. Oncogene, 2006, 25: 6056-6066
- [8] Momeny M, Mohammad RK, Ghaffari SH, et al. Effects of silibinin on cell growth and invasive properties of a human hepatocellular carcinoma cell line, HepG-2, through inhibition of extracellular signal-regulated kinase[J], Eur. J. Pharmcol, 2008,591:13-20
- [9] Pasman E, Sabbagh A, Hanna N, et al. SPRED1 germline mutations caused a neurofibromatosis type 1 overlapping phenotype [J]. J Med Genet, 2009, 46:425-430
- [10] Brems H, Chmara M, Sahbatou M, et al. Germline loss-of-function mutations in SPRED1 cause a neurofibromatosis 1-like phenotype[J]. Nat Genet, 2007,39:1120-1126
- [11] Lu ZZ, Ni F, Hu ZB, et al. Efficient gene transfer into hematopoietic cells by a retargeting adenoviral vector system with a chimeric fiber of adenovirus serotype 5 and 11p, Exp [J]. Hematol,2006,34 : 1170-1181
- [12] Li QF, Huang WR, Duan HF, et al. Sphingosine kinase-1 mediates BCR/ABL-induced upregulation of Mcl-1 in chronic myeloid leukemia cells[J]. Oncogene, 2007, 26:7904-7908

(上接第 249 页)

- [2] Luciano CP, Marcelo AP, Liliete C, et al. Oxidative stress as a signaling mechanism of the vascular response to injury The redox hypothesis of restenosis[J]. Cardiovascular Research, 2000,47(3):436-445
- [3] Souza HP, Souza LC, Anastacio VM, et al. Vascular oxidant stress early after balloon injury: evidence for increased NAD(P)H oxidoreductase activity[J]. Free Radic Biol Med, 2000,28:1232-1242
- [4] Tulis DA. Histological and morphometric analyses for rat carotid balloon injury model[J].Methods Mol Med, 2007,139:31-66
- [5] Azevedo LC, Pedro MA. Oxidative stress as a signaling mechanism of the vascular response to injury: the redox hypothesis of restenosis[J]. Cardiovasc Res, 2002, 47(3): 436-445
- [6] McCully KS. Homocysteine, vitamins, and prevention of vascular disease[J]. Mil Med,2004,169(4): 325-329
- [7] Muscoli CI. The protective effect of superoxide dismutase mimetic M40401 on balloon injury-related neointima formation: role of the lectin-like oxidized low-density lipoprotein receptor-1[J]. J Pharmacol Exp Ther 2004,311(1): 44-50
- [8] Nunes GL, Abizaid AC. Role of probucol in inhibiting intimal hyperplasia after coronary stent implantation: a randomized study [J]. Am Heart J, 2006,152(5): 914 e1-7
- [9] Souza HP, Souza LC, Anastacio VM, et al. Vascular oxidant stress early after balloon injury: evidence for increased NAD(P)H oxidoreductase activity[J]. Free Radic Biol Med,2000, 28:1232-1242
- [10] Szöcs K, Lassegue B, Sorescu D, et al. Upregulation of Nox-based NAD (P)H oxidases in restenosis after carotid injury [J]. Arterioscler Thromb Vasc Biol,2002,22:21-27
- [11] Shin HK, Kim YK, Lee JH, et al. Remnant lipoprotein particles induce apoptosis in endothelial cells by NAD (P)H oxidase-mediated production of superoxide and cytokines via lectin-like oxidized low-density lipoprotein receptor-1 activation: prevention by cilostazol [J]. Circulation, 2004,109(8): 1022-1028